

## Classification of Forearm Multichannel Electromyogram Signals by a Self-Organized Neuro-Fuzzy Structure

**M.H. Moradi<sup>1\*</sup>, B. Makki Abadi<sup>2</sup>**

<sup>1</sup> Associate Professor, Medical Instrumentation and Biomedical Signal Processing Lab., Biomedical Engineering School, Amirkabir University of Technology, Tehran, Iran

<sup>2</sup> PhD Candidate, Centre of Digital Signal Processing, Cardiff University, Cardiff, UK, makkiabadib@Cardiff.ac.uk

### **Abstract**

High rate classification of Electromyogram (EMG) signals for controlling of prosthetic hands is still a hot topic among the rehabilitation research titles. Specially, when the degree of freedom in artificial hands increases, the classification rate decreases dramatically. In this paper, a new five layer classifier based on Neuro-Fuzzy-Genetic structure was introduced to increase the classification accuracy of EMG signals. The proposed classifier has a self-organized structure, which adaptively creates new rules according to the input features and trains the fuzzy rule weights based on the back propagation method. Finally, the genetic algorithm (GA) was employed for the final tuning stage. In this study, six subjects were asked to perform 9 different movements and their EMG signals were caught during the tasks from the six different forearm muscles. In order to remove the noises, the signals were filtered. Then the integral absolute average (IAV), Cepstrum coefficients and Wavelet Packet Coefficients with entropy pruning were extracted from the filtered signals as features. We used principal components analysis (PCA) for dimensionality reduction (234 to 10). The dimensionality reduction by PCA simplifies the structure of the classifier and reduces the processing time for the pattern recognition. The proposed classifier was applied on the features and the results were led to higher than 96.7% classification rate for the 9 classes of movement. To make a comparison, support vector machine (SVM) was employed (76% classification rate for 9 classes) and the results showed a drastic supremacy of the proposed method.

**Keywords:** Electromyogram signal ; Integral absolute average (IAV); Cepstrum; Wavelet packet; Entropy pruning; Principal components analysis (PCA); Self-organized neuro-fuzzy structure ; Support vector machine (SVM); Genetic algorithm (GA)

\* Corresponding author

Address: Mohammad Hassan Moradi, Medical Instrumentation and Biomedical Signal Processing Lab., Biomedical Engineering School, Amirkabir University of Technology, Hafez Ave, Tehran, Iran  
Tel: +98 21 64542390.  
Fax: +98 21 66468186.  
E-mail: mhmoradi@aut.ac.ir

## طبقه‌بندی سیگنال الکترومايوگرام سطحی چند کاناله ساعد با استفاده از یک ساختار خودسازمانده فازی-عصبی

محمد حسن مرادی<sup>\*</sup>، بهادر مکی آبادی<sup>\*</sup>

<sup>۱</sup> دانشیار دانشکده مهندسی پزشکی، آزمایشگاه ابزار دقیق و پردازش سیگنال‌های بیولوژیکی، دانشگاه صنعتی امیرکبیر، تهران

<sup>۲</sup> دانشجوی دکترای مرکز پردازش سیگنال‌های دیجیتال، دانشگاه کاردیف، کاردیف، انگلستان [makkiabadib@Cardiff.ac.uk](mailto:makkiabadib@Cardiff.ac.uk)

### چکیده

طبقه‌بندی با دقت بالای سیگنال الکترومايوگرام سطحی برای کنترل دست مصنوعی از عناوین مهم تحقیق در حوزه توان بخشی است. به ویژه آنکه با افزایش درجات آزادی، نرخ تشخیص درست بشدت کاهش می‌یابد. در مقاله حاضر براساس یک ساختار خودسازمانده فازی-عصبی جدید پیشنهادی پنج لایه، طبقه‌بندی سیگنال الکترومايوگرام چند کاناله انجام شده است. در این ساختار متناظر با ویژگی‌های ورودی، قواعد جدید ایجاد و وزن آنها براساس الگوریتم پس انتشار خطاب بهبود یافته و از الگوریتم رُتیک برای تنظیم نهایی استفاده شده است. به دلیل تعداد درجات آزاد بالا در حرکات ناحیه زیر آرنج در مقایسه با ناحیه بالای آن، از شش جفت الکترود برای برداشت سیگنال استفاده شده است. پس از حذف اختشاش با فیلتر، ویژگی‌های رایجی چون متوسط قدر مطلق سیگنال، ضرایب کپستروم و ضرایب بسته ویولت هرس شده با آنتروپی به طبقه‌بندی کننده اعمال شده اند برای تعیین زمان واقعی بودن مرحله تشخیص (کمتر از ۱۰۰ms) و ساده‌تر شدن طبقه‌بندی، با استفاده از نگاشت آنالیز مؤلفه‌ای اساسی، بعد ویژگی‌ها از ۲۲۴ به ۱۰ کاهش یافته است. ثبت‌های مربوط به ۶ فرد در دو حالت ۶ کلاس و ۹ کلاس حرکتی ارزیابی شده و با طبقه‌بندی کننده ماشین بردار پشتیبان مقایسه شده است. در ۹ کلاس صحت متوسط ۹۶٪/۷ به دست آمد که نسبت به ماشین بردار پشتیبان (۷۶٪) بهبود قابل توجهی دارد.

واژه‌های کلیدی: سیگنال الکترومايوگرام؛ متوسط قدر مطلق سیگنال؛ کپستروم؛ بسته ویولت؛ هرس آنتروپی؛ آنالیز مؤلفه‌ای اساسی؛ ساختار خودسازمانده فازی-عصبی؛ ماشین بردار پشتیبان؛ الگوریتم رُتیک

\* عهده‌دار مکاتبات

نشانی: تهران، خیابان حافظ، دانشگاه صنعتی امیرکبیر، دانشکده مهندسی پزشکی، آزمایشگاه ابزار دقیق و پردازش سیگنال‌های بیولوژیکی  
تلفن: ۰۲۶۲۳۹۹، دورنگار: ۰۶۴۶۸۱۸۰، پیام نگار: [mhmoradi@aut.ac.ir](mailto:mhmoradi@aut.ac.ir)

## ۱- مقدمه

تحقیق برای سیگنال الکترومایوگرام از یک مدل خود بازگشته<sup>۱</sup> مرتبه چهار استفاده شد و با استفاده از یک کانال برای دریافت سیگنال و به کمک توابع جدا کننده خطی، الگوهای حرکتی را تا حد زیادی تفکیک کردند. از آن زمان تاکنون ویژگی‌های مختلفی از سیگنال الکترومایوگرام استخراج شده و طبقه‌بندی کننده‌های مختلفی برای آن به کار رفته‌اند. در این خصوص می‌توان به ویژگی‌های: دفعات عبور از صفر و قدرمطلق انگرال سیگنال<sup>۲</sup>، ضرایب فوریه سیگنال<sup>۳</sup>، مقدار بیشینه دامنه پوش<sup>۴</sup>، متوسط قدرمطلق شبیب، طول موج یا پیچیدگی موج، ویژگی‌های حوزه زمان- فرکانس سیگنال، ضرایب ویولت<sup>۵</sup>، ضرایب بسته ویولت<sup>۶</sup> و انرژی ویولت سیگنال در مقیاس‌های مختلف، واریانس<sup>۷</sup>، دامنه ویلسون<sup>۸</sup>، متغیرهای سری زمانی بر مبنای آمارگان مرتبه دوم (توابع همبستگی) و هیستوگرام، ضرایب کپستروم<sup>۹</sup> و ویژگی‌های آمارگان مرتبه بالا<sup>۱۰</sup> [۷-۴] را می‌توان نام برد. برای طبقه‌بندی نیز از شبکه‌های عصبی، خوش‌یابی فازی<sup>۱۱</sup>، توابع فاصله و توابع تمایز خطی<sup>۱۲</sup> و ماشین‌های بردار پشتیبان<sup>۱۳</sup> (SVM) استفاده شده است [۸-۱۰]. در جدول ۱ مشخصات برخی از مطالعات به تازگی اجرا شده در این خصوص ارائه شده است.

جدول ۱- مشخصات برخی از مطالعات اجرا شده

در ده سال اخیر [۱۱]

سال	کاربره	تعداد کلاس	تعداد کانال	طبقه‌بندی	ویژگی	مؤلف
۱۹۹۸	پروتر ندام وقایس	۴	۲	MLP	.MAV .MAVS .SSC ZC .WL	ماکینز [۱۲]
۲۰۰۱	پروتر ندام وقایس	۶	۷	PCA/LDA	.STFT .WT .WPT	انگلیارت [۱۳]
۲۰۰۲	پروتر ندام وقایس	۲۱	۶	شبکه عصبی- فازی لیفوس	.CEPS .IAV.WT	سکلابادی [۱۴]
۲۰۰۳	پروتر ندام وقایس	۶	۱۱	شبکه عصبی- فازی لیفوس	.MAV	کوکوش [۱۵]
۲۰۰۵	پروتر ندام وقایس	۴	۷	مطلق فازی	RMS	اجیهی [۱۶]
۲۰۰۵	پروتر ندام وقایس	۶	۷	GMM	RMS AR	هانگ [۱۷]
۲۰۰۶	پروتر ندام وقایس	۶	۷	PCA/SOFM/MLP	WPT	چو [۱۸]
۲۰۰۷	پروتر ندام وقایس	۶	۷	KNN	HOS	ظریور [۱۹]
۲۰۰۸	پروتر ندام وقایس	۶	۷	SVM/MLP/LDA	.MAV+ .WL + ZC + SSC	اسکوئی [۲۰]

<sup>۱</sup> Cybernetic Prostheses<sup>۲</sup> Integral of Absolute Value<sup>۳</sup> Wavelet Packet<sup>۴</sup> Higher Order Statistics<sup>۵</sup> Weiner<sup>۶</sup> Fourier<sup>۷</sup> Variance<sup>۸</sup> Fuzzy

در قرن اخیر شاهد کوشش‌های بسیاری در سراسر جهان برای تهیه اندازه‌ای مصنوعی برای معلولان بوده‌اند. در حوزه پردازش سیگنال‌های بیولوژیکی و توانبخشی یکی از مهمترین عنوانین تحقیقاتی، پردازش سیگنال الکترومایوگرام سطحی به عنوان ابزاری غیرتهاجمی و مؤثر برای کنترل مستقیم و ارادی پروتز دست است. در دست سالم صدور فرمان‌های حرکتی به وسیله مغز، موجب انقباض عضلانی و در نتیجه حرکت مفاصل می‌گردد. در دست سیبرنیتیکی<sup>۱</sup> نیز هدف این است که انداز مصنوعی، مشابه با وضعیت طبیعی، به وسیله همین فرمان‌های حرکتی کنترل شود. پروتز سیبرنیتیکی از یک استراتژی طبیعی بین اعصاب مرکزی انسان و پروتز ماشینی استفاده می‌کند و پس از تشخیص فرمان آن را برای ایجاد حرکت به پروتر ماشینی انتقال می‌دهد.

در سال ۱۹۶۳ وینر<sup>۲</sup> اظهار کرد: "این امکان وجود دارد که از یک ماهیچه قطع شده، پتانسیلهای عمل را دریافت و از آنها به منظور کنترل دست مصنوعی استفاده کنیم"، به عبارت دیگر دست مصنوعی با اراده کنترل شود [۱]. پس از آن ایده استفاده از سیگنال‌های الکترومایوگرام سطحی به عنوان طبیعی‌ترین رابط انسان و پروتز برای کنترل حرکات دست مصنوعی مطرح شد. از دهه ۶۰ به بعد کشورهای روسیه، انگلستان، سوئد، ژاپن، آمریکا، کانادا و ایران [۲] تحقیقات گسترده‌ای را در زمینه کنترل دست مصنوعی به وسیله سیگنال الکترومایوگرام شروع کردند و به این ترتیب پیشرفت‌های چشمگیری در امر کنترل پروترهای مصنوعی حاصل شد. از خصوصیات یک پروتز مطلوب: سبک بودن، پرستگی و مشابه بودن حرکات تولید شده، مقاوم و پایداربودن و از همه مهم‌تر قدرت تفکیک بالا و خطای کم در تشخیص وانجام حرکات درزمان واقعی است. بر همین اساس به طور عمده از روش‌های کنترلی مبتنی بر شناسایی الگوی سیگنال الکترومایوگرام استفاده شده است.

یکی از اولین تحقیقات انجام شده در زمینه پردازش سیگنال الکترومایوگرام برای کنترل دست مصنوعی، به وسیله گراوپ<sup>۳</sup> و همکارانش در سال ۱۹۷۵ انجام شد [۲]. در این

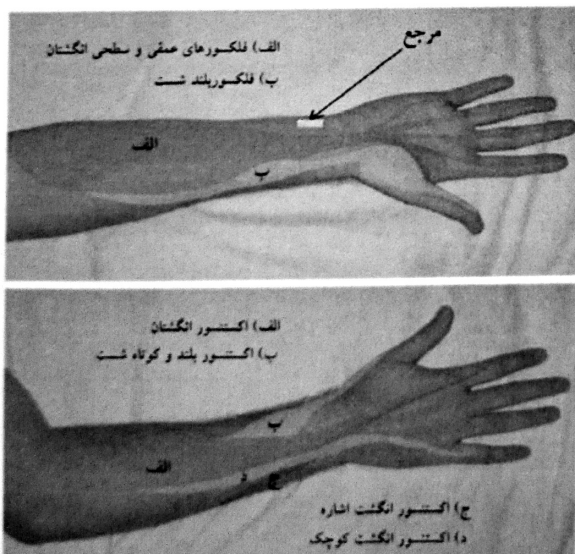
<sup>۳</sup> Graupe<sup>۴</sup> Maximum Of Envelope Amplitude<sup>۵</sup> Wilson Amplitude<sup>۶</sup> Cepstrum<sup>۷</sup> Linear Discriminant<sup>۸</sup> Autoregressive<sup>۹</sup> Wavelet Coefficients<sup>۱۰</sup> Support Vector Machine

استفاده از روش پسانشان خطای<sup>۲۲</sup>، متغیرهای شبکه حاصل از بخش آموزش ساختاری، برای کم نمودن خطای خروجی دوباره تنظیم شده است (یادگیری پارامتری).

## ۲-تجهیزات، روش و نحوه انجام آزمایش

به منظور اجرای آزمایش‌ها از مجموعه تجهیزات و ابزارهای زیر استفاده شده است:

۱. هشت جفت الکترود سطحی از جنس نقره به قطر ۱۰mm برای برداشت سیگنال;
  ۲. یک دستگاه تقویت کننده سیگنال الکتروموایوگرام هشت کاناله با ورودی ۵۰mV تا ۱۰mV امپدانس ورودی بسیار بالا و ضریب بهره خطی در محدوده فرکانسی سیگنال;
  ۳. کارت آنالوگ به دیجیتال<sup>۲۳</sup>، ۱۶ بیتی با هشت کانال آنالوگ برای نمونه برداری از سیگنال تقویت شده؛
  ۴. یک دستگاه کامپیوتر شخصی (سی‌پی‌یو<sup>۲۴</sup> ۲/۸GHz) با ۵۱۲MB حافظه رم<sup>۲۵</sup> برای ذخیره‌سازی و پردازش اطلاعات.
- عضلات استفاده شده برای آزمایش‌ها در شکل ۱ و جدول ۲ آمده است. این عضلات شامل ۳ عضله باز کننده سطحی قدام دست و ۳ عضله جمع کننده سطحی خلفی ساعدند. علت انتخاب این عضلات، درگیری زیاد آنان در حرکات تعریف شده است.



شکل ۱- آناتومی عضلات و محل الکترود مرجع

در این مقاله طبقه‌بندی سیگنال الکتروموایوگرام سطحی چند کاناله برای تشخیص کلاس‌های حرکتی زیرآرنج مورد بررسی قرار گرفته است. به دلیل تعداد درجات آزادی بالا در حرکات ناحیه زیرآرنج در مقایسه با ناحیه بالای آن، تعداد الکترود های بیشتری برای برداشت سیگنال الکتروموایوگرام نیاز است. الکترودها بر روی عضلاتی قرار می‌گیرند که بیشترین اثر را حین انجام الگوهای حرکتی مورد نظر داشته باشند. برای تشخیص الگوهای حرکتی مورد نظر در این مطالعه، از ثبت سیگنال شش کاناله مبتنی بر الکترود گذاری آناتومیکی؛ سه کانال در عضلات بازکننده<sup>۱۷</sup> ساعد در سطح قدامی و سه کانال برای عضلات جمع کننده<sup>۱۸</sup> سطحی خلفی ساعد استفاده و حرکات مختلف دست طبقه‌بندی شده است. کارایی سیستم پروتز مایوالکتریک مبتنی بر روش بازشناسی الگو به وسیله دو بلوک استخراج ویژگی و طبقه‌بندی کننده تعیین می‌شود. اگر بلوک انتخاب ویژگی بتواند نمایش خوبی از کلاس‌های حرکتی متفاوت، در فضای ویژگی ارائه دهد، بلوک طبقه‌بندی کننده با نتایج بسیار بهتری می‌تواند کلاس‌ها را طبقه‌بندی نماید. از ویژگی‌های متوسط انتگرال قدر مطلق سیگنال، ضرایب کپسیتروم و ضرایب بسته ویولت که در مطالعات قبلی [۲۴] کارایی مطلوبی را از خود نشان داده اند، استفاده شده است.

پس از استخراج ویژگی، می‌توان به منظور بهبود زمان تشخیص، با استفاده از روش‌های کاهش بُعد بردار ویژگی و انجام تبدیل‌هایی، الگوی ورودی را در فضای بهتری برای طبقه‌بندی بازنمایی نمود. برای کاهش بُعد از آنالیز مؤلفه‌های اساسی استفاده شده است [۱۹]. برای طبقه‌بندی از یک سیستم خودسازمانده<sup>۱۹</sup> فازی-عصبي، با عنوان فیلتر فازی-عصبي و فقی<sup>۲۰</sup> استفاده کردۀ‌ایم [۱۸] که قابلیت یادگیری پارامتری<sup>۲۱</sup> و ساختاری را با هم داراست و به منظور ساختار خود را از صفر و به وسیله داده‌های آموزشی ایجاد کرده و نیازی به تعیین توابع عضویت و تعداد قوانین ندارد. پس از ایجاد ساختار مناسب بر اساس خوشبندی اطلاعات، با

<sup>17</sup> Extensor

<sup>21</sup> Parameter Learning

<sup>25</sup> Random Access Memory

<sup>18</sup> Flexor

<sup>22</sup> Error Back Propagation

<sup>19</sup> Self Organizing

<sup>23</sup> Analog/Digital

<sup>20</sup> Adaptive Neuro-Fuzzy Filter

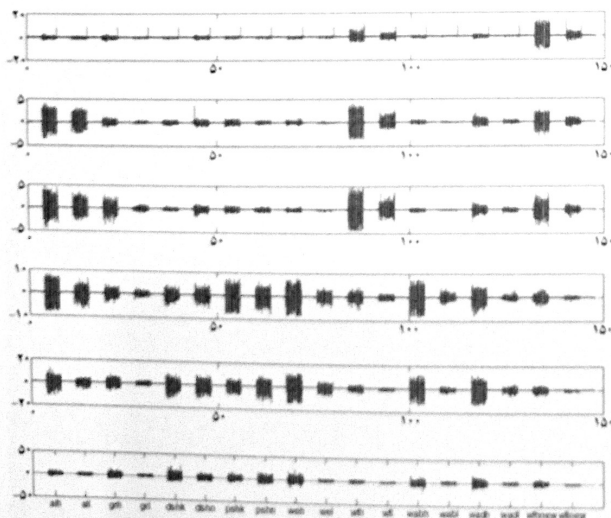
<sup>24</sup> Central Processing Unit

۵. جمع کردن همه انگشتان<sup>۳۱</sup>؛  
 ۶. حالت سکون<sup>۳۲</sup>؛  
 ۷. فشار دادن انگشت شست روی انگشتان نشانی و میانی؛  
 ۸. دور کردن انگشت شست روی انگشتان نشانی و میانی؛  
 ۹. جمع کردن انگشت‌های کوچک، سبابه، میانی، نشانه و  
 شست به سمت کف دست

به علت بالینی نبودن محیط سیگنال‌گیری و وجود اغتشاش<sup>۳۳</sup> برق شهر، از یکی از کانال‌ها برای ثبت اغتشاش ۵۰Hz برق شهر استفاده شد. سعی شد سیگنال اغتشاش با دامنه بالا و بدون اعوجاج قطع و اشباع ثبت شود. از این کانال برای حذف وقوعی اغتشاش استفاده شده است. سیگنال‌ها با استفاده از یک فیلتر میان‌گذر با ترورث<sup>۳۴</sup> مرتبه ۲kHz در محدوده ۱۰ تا ۵۰۰Hz فیلتر شده و با فرکانس نمونه‌برداری شده‌اند. نمونه‌ای از سیگنال ۶ کانال در شکل ۲ رسم شده است.

### ۳- استخراج ویژگی

استخراج ویژگی مهم‌ترین و حساس‌ترین بخش برای تشخیص اراده حرکت است. از آنجاکه روش پردازش باید به صورت بلاذرنگ عمل کند، استفاده از سیگنال خام به عنوان ورودی طبقه‌بندی کننده امکان‌پذیر نیست و باید ویژگی‌های مناسب استخراج و انتخاب شوند تا طبقه‌بندی کننده بتواند به صورت آنی حرکت مورد نظر را تشخیص دهد.



شکل ۳- نمونه سیگنال EMG شش کاناله برای حرکات مختلف

<sup>26</sup> Surface Electromyogram  
<sup>30</sup> Wrist Adduction  
<sup>34</sup> Butterworth

<sup>27</sup> Wrist Flexion  
<sup>31</sup> Grasp

جدول ۲- عضلات استفاده شده برای ثبت سیگنال

کانال	عضله	کانال	عضله
۱	جمع کننده رادیال مچ	۴	باز کننده اولنار مچ
۲	جمع کننده اولنار مچ	۵	باز کننده انگشتان
۳	جمع کننده انگشتان	۶	باز کننده کوتاه رادیال مچ

<sup>4</sup> Extensor Carpi Ulnaris      <sup>1</sup> Flexor Carpi Radialis  
<sup>5</sup> Extensor Digitum      <sup>2</sup> Flexor Carpi Ulnaris  
<sup>6</sup> Extensor Carpi Radialis Brevis      <sup>3</sup> Flexor Digitum



شکل ۲- اجرای آزمایش ثبت سیگنال SEMG<sup>۲۹</sup>

آزمایش‌ها مطابق شکل ۲ در حالت نشسته بر روی صندلی انجام شده است. در حالتی که شانه در وضعیت خنثا قرار دارد و آرنج فرد به‌وسیله دسته صندلی در زاویه<sup>۳۰</sup> ۹۰° بوده و کف دست رو به بالا باشد. به منظور از بین بردن اثرات منفی خستگی عضلانی، سیگنال‌گیری با در نظر گرفتن زمان استراحت مناسب<sup>۳۱</sup> ۵ بین انقباضات پی در پی، انجام شد. این آزمایش‌ها برای دو نفر در یک جلسه و برای هر فرد در دو جلسه با اختلاف دو روز انجام شده است. با نشانه‌گذاری بر روی دست سعی شده است که الکترودها تا حد ممکن در محلی ثابت قرار گیرند. از شش فرد سالم در رده سنی بین ۲۲ سال تا ۲۶ سال و هر فرد ۱۰ تکرار<sup>۴</sup> انجام شد. در هر جلسه برای هر کدام از حرکات ۱۰ تکرار<sup>۴</sup> ثانیه‌ای با استراحت دو دقیقه‌ای مابین آنها از هر فرد ثبت شده است. با در نظرداشتن عمومیت حرکات و کاربرد بیشتر آنها، حرکت به شرح زیر مورد آزمایش قرار گرفت:

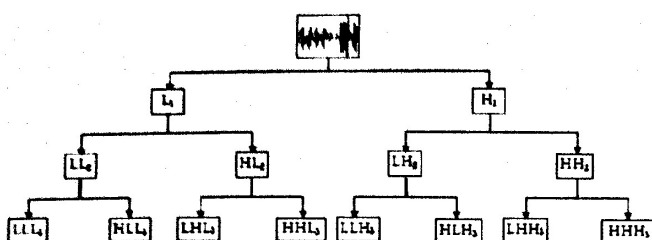
۱. جمع کردن مچ<sup>۳۲</sup>؛

۲. باز کردن مچ<sup>۳۳</sup>؛

۳. چرخاندن مفصل مچ از پهلو به سمت خارج<sup>۲۹</sup>؛

۴. چرخاندن مفصل مچ از پهلو به سمت داخل<sup>۳۱</sup>؛

<sup>28</sup> Wrist Extension  
<sup>32</sup> No Motion  
<sup>29</sup> Wrist Abduction  
<sup>33</sup> Noise



شکل ۵- نمودار بلوکی تجزیه بسته ویولت

**۳-۳- ضرایب بسته ویولت**

تبديل بسته ویولت با تبدیل ویولت یک سری تفاوت های ساختاری دارد. در تبدیل بسته ای ویولت، در هر مرحله تجزیه هم در باند بالایی و هم در باند پایینی فرکانس انجام می شود. این در حالی است که در تبدیل ویولت، تجزیه در هر مرحله به صورت درختی در باندهای فرکانس پایین انجام می شود. شکل ۵ روند تجزیه بسته ویولت را نشان می دهد. برای تجزیه از ویولت معتمد کوایفلت با طول ۶ و تا ۸ سطح استفاده شده است. چون این نوع تجزیه دارای اضافات است، برای رسیدن به بهترین درخت تجزیه از هرس کردن ضرایب براساس آنتروپی استفاده شده است. در مجموع ۳۲ ضریب برای هر سیگنال انتخاب شده است.

### ۴-۳- کاهش بعد

استخراج ویژگی از یک سیگنال، انتقال آن به فضایی جدید در جهت افزایش چگالی اطلاعات موجود در سیگنال است. به طور ساده استخراج ویژگی می تواند، اعمال یک تبدیل ریاضی بر روی یک بازه زمانی از سیگنال و استخراج ضرایبی که مشخص کننده ویژگی های سیگنال از نقطه نظری خاص، تلقی شود. به طور کلی وظایف عمدۀ بخش استخراج کننده ویژگی را می توان به صورت زیر خلاصه کرد:

۱. کاهش بعد: ابعاد الگوهای ورودی را کاهش می دهد زیرا زیاد بودن ابعاد این الگوها هزینه طبقه بندی را بالا می برد.
۲. بازنمایی بهتر الگو: استخراج کننده ویژگی باید قادر باشد با انجام تبدیل هایی الگوی ورودی را در فضای بهتری برای طبقه بندی بازنمایی کند.

پس از حذف اغتشاش برق شهر، سیگنال ها با استفاده از یک پنجره همینگ<sup>۳۵</sup> به فواصل ۲۰۰ms با همپوشانی ۱۵۰٪ تقسیم شده اند. این طول پنجره با توجه به مشخصات فیزیولوژیکی و فواصل زمانی برای اراده حرکت که به ۸۰ms برای تصمیم گیری و ۱۲۰ms برای رسیدن فرمان به عضله نیاز دارد، انتخاب شده است. با توجه به مطالعات پیشین از ویژگی های متوسط انتگرال قدر مطلق سیگنال، کپستروم و بسته ویولت استفاده شده است [۴، ۵].

### ۳-۱- متوسط قدر مطلق سیگنال (IAV)

مقدار این ویژگی برابر متوسط یکسو شده سیگنال SEMG در یک پنجره زمانی است.

$$IAV = \left( I/N \right) \sum_{i=1}^N |x(i)| \quad (1)$$

این ویژگی در عین سادگی، در مورد سیگنال SEMG بسیار قوی و سریع عمل می کند.

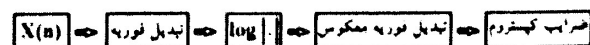
### ۳-۲- ضرایب کپستروم

نتایج بررسی ها نشان دهنده برتری و کارایی این روش، نسبت به سری های زمانی بوده است. این ضرایب را می توان از تبدیل معکوس لگاریتم تبدیل فوریه سیگنال به دست آورد. در شکل ۴ روش محاسبه مشاهده شود. برای محاسبه سریع ضرایب کپستروم از ضرایب مدل خود بازگشته سیگنال مطابق روابط (۲) و (۳) استفاده شده است.

$$c_i = a_i \quad \text{and} \quad c_n = -\sum_{k=1}^n \left( 1 - \frac{k}{n} \right) a_k c_{n-k} - a_n \quad (2)$$

$$x(n) = \sum_{k=1}^n a_k x(n-k) + e(n) \quad (3)$$

که  $x$  این ضریب کپستروم،  $x$  سیگنال،  $e$  اغتشاش سفید و  $a$  این ضریب مدل خود بازگشته است. براساس ارزیابی اطلاعاتی ویژگی ها و معیار جدایی پذیری خوشها و مدت زمان مورد نیاز برای محاسبات از مدل خود بازگشته مرتبه چهار و از شش ضریب اول کپستروم هر سیگنال استفاده شده است.



شکل ۴- روند محاسبه ضرایب کپستروم

<sup>35</sup> Hamming Window

### ۱-۴ سیستم فازی- عصبی خودسازمانده

در سال ۱۹۶۵ آقای لطفی‌زاده اولین مقاله خویش را تحت عنوان "ارائه یک راه مشخص نمودن عدم قطعیت غیر احتمالی" که آن را مجموعه‌های فازی نامیده بود، ارائه کرد. منطق فازی که بر اساس تئوری مجموعه‌های فازی بنا شده، منطق پنهانیت ارزشی است که برای شبیه‌سازی ابهامات و عدم اطمینان‌های زندگی روزمره و بیانات انسانی در کامپیوترها استفاده می‌شود. تاکنون براساس تئوری فوق مباحثت بسیار زیادی از جمله محاسبه قوانین فازی، درونیابی فازی، استدلال فازی، استنتاج فازی، مدل‌سازی فازی، خوشبندی فازی و... مطرح شده است که هر یک از مباحثت فوق در زمینه‌های مختلفی چون کنترل اتوماتیک، پیش‌بینی سری‌های زمانی، پردازش سیگنال و سیستم‌های مهندسی پژوهشکی، بینایی ماشین و سیستم‌های هوشمند تشخیص گر، و... به کار رفته‌اند و جواب‌های قابل قبولی به دست آمده است.

یکی از نکات مهم در سیستم‌های فازی چگونگی انتقال قوانین از شخص خبره به این سیستم‌هاست. در مجموع اطلاعات شخص خبره از قوانین حاکم بر سیستم‌های واقعی به‌ویژه سیستم‌های مرتبط با بدن انسان، بسیار کم است و در این باره ناچار به استخراج قوانین از داده‌های ورودی و خروجی مشاهده شده از سیستم خواهیم بود. ایجاد توانایی یادگیری در سیستم‌های فازی امری بسیار مهم است، برای رسیدن به چنین توانایی روش‌های مختلفی وجود دارد، یکی از روش‌های بسیار پرکاربرد و معمول‌ترین آنها تلفیق ساختار قانون‌مند فازی با شبکه‌های عصبی است که دارای قابلیت یادگیری خود به خود از داده‌های آموزشی‌اند. سیستم‌های فازی دارای قابلیت بسیار خوب حذف تغییرات از الگوهای اغتشاشی و قابلیت اثربداری از تجربیات شخص خبره هستند، اما از قدرت یادگیری از الگوهای آموزشی مانند شبکه‌های عصبی برخوردار نیستند. در این مقاله ساختار فیلتر وقوعی فازی- عصبی به شکلی تغییر یافته است که برای طبقه‌بندی مناسب شود (ANPC<sup>۳۶</sup>). بنابراین ابتدا ساختار این سیستم را بررسی کرده و سپس نتایج حاصل از آن را ارائه

با توجه به شش کanal ثبت، در هر پنجره از سیگنال، بردار ویژگی دارای بعد =  $2^{34} = 4(32+6+1)$  است؛ بنابراین طراحی و آموزش هر طبقه کننده‌ای با استفاده از آن زمانبر و بسیار دشوار خواهد بود. برای کاهش بعد با استفاده از روش تحلیل مؤلفه اساسی، بردار ویژگی به بعد ۱۰ نگاشته شده است. این بعد براساس تغییر قابل ملاحظه در شبکه مقادیر ویژه ماتریس نمونه‌ها- ویژگی‌ها (منحنی L) و میزان بهبود در نتیجه طبقه‌بندی و قید کاهش زمان طبقه‌بندی انتخاب شده است، به طوری که کل زمان استخراج ویژگی و طبقه‌بندی کمتر از ۱۰۰ ms (نصف فواصل زمانی اراده حرکت) شود.

### ۴- طبقه‌بندی

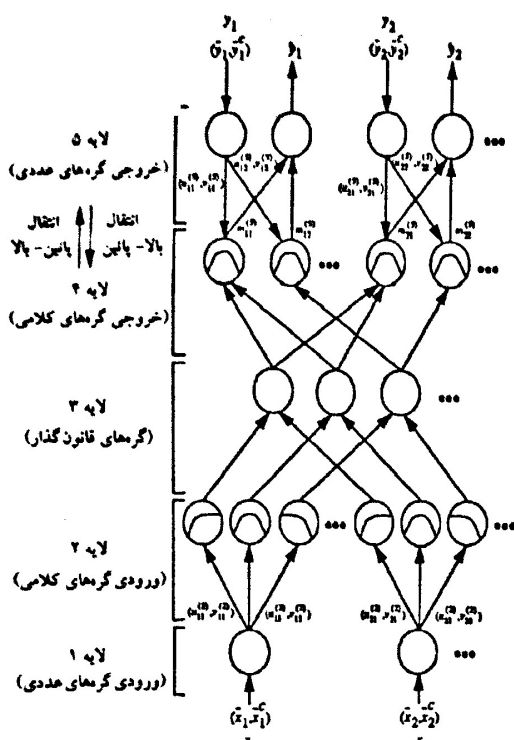
دستیابی به نرخ بازشناسی بالا برای ۹ طبقه، نیازمند روشی قدرتمند، کارا و سریع است. بنابراین استفاده از روش‌های دو کلاسی نظری آنالیز تمایز خطی<sup>۳۷</sup> (LDA) یا ماشین بردار پشتیبان به شبکه بزرگی از طبقه‌بندی کننده‌ها منجر می‌شود که پیچیده و زمانبر خواهد بود. در اینجا می‌توان از روش‌های چندکلاسی نظری ساختارهای مختلفی از شبکه عصبی یا روش‌های طبقه‌بندی مبتنی بر فاصله (نظری فاصله ماهalanobis<sup>۳۸</sup>) استفاده کرد. در چنین ساختارهایی نیاز به مجموعه بزرگی از نمونه‌های ورودی برای تضمین تعمیم‌دهی است؛ درحالی که ثبت تعداد زیادی از بازه‌های سیگنال الکترومایوگرام در حرکت‌های مختلف گران و زمانبر خواهد بود. تقریباً تمام ساختارهای از پیش تعریف شده و فقط مبتنی بر یادگیری پارامتری برای رسیدن به ساختار بهینه و عبور از نقاط کمبینه محلی، دچار مشکل فوق هستند. در این مقاله از یک ساختار خودسازمانده فازی- عصبی استفاده شده است که هم ساختار آن (قوانین فازی) و هم متغیرهای آن (مشخصات نوعی عضویت ورودی و خروجی قوانین) در فرایند آموزش تولید و اصلاح می‌شوند تا نرخ مطلوب بازشناسی در زمان قابل قبول حاصل و نتایج آن با ماشین بردار پشتیبان که امروزه در کاربردهای متنوعی کارایی خود را نشان داده است، مقایسه شود.

<sup>۳۶</sup> Linear Differential Analysis

<sup>۳۷</sup> Mahalanobis

<sup>۳۸</sup> Adaptive Neuro-Fuzzy Classifier

می‌کنیم.



شکل ۶- ساختار لایه به لایه (ANFF)

$$\bar{X}^T = (\bar{x}_1, \bar{x}_1^c, \bar{x}_2, \bar{x}_2^c, \dots, \bar{x}_n, \bar{x}_n^c) \\ = (\bar{x}_1, 1 - \bar{x}_1, \bar{x}_2, 1 - \bar{x}_2, \dots, \bar{x}_n, 1 - \bar{x}_n) \quad (4)$$

$$(\bar{x}_1, \bar{x}_2, \dots, \bar{x}_n) = \bar{X}^T = \frac{\bar{x}}{\|\bar{x}\|}, \bar{x}^c = 1 - \bar{x} \quad (5)$$

$$\bar{Y}^T = (\bar{y}_1, \bar{y}_1^c, \bar{y}_2, \bar{y}_2^c, \dots, \bar{y}_n, \bar{y}_n^c) \\ = (\bar{y}_1, 1 - \bar{y}_1, \bar{y}_2, 1 - \bar{y}_2, \dots, \bar{y}_n, 1 - \bar{y}_n) \quad (6)$$

در اعمال روش کدینگ به ANFF تمام ورودی‌ها و همچنین خروجی‌ها در مرحله پیش‌پردازش اطلاعات به حالت مکمل کد می‌شوند و سپس از همین بردارهای تبدیل شده برای آموزش شبکه استفاده می‌شود. شایان ذکر است گره‌های لایه چهارم که آنها را گره‌های توابع عضویت خروجی می‌نامیم، دارای دو وضعیت کاری‌اند: وضعیت حرکت از بالا به پایین و حرکت از پایین به بالا.

در حالت پایین به بالا اتصالات گرمای لایه چهارم بر روی خروجی‌های گره‌های قانون، عملی شیبیه به "یا" فازی را انجام می‌دهند. در وضعیت کاری از بالا به پایین اتصالات موجود در لایه ۵ مانند اتصالات شبیه خود در لایه ۴ عمل می‌کنند. گره‌های لایه پنجم نیز دارای دو نوع گره‌اند: نوع اول از گره‌ها در حالت کاری بالا به پایین و برای دریافت و کدینگ خروجی مطلوب استفاده می‌شود که دقیقاً مانند

#### ۴-۲- ساختار فیلتر ورقی فازی-عصبی خودسامانده

این سیستم دارای ۵ لایه همراه با اتصالات موجود در بین لایه‌های (شکل ۶). گره‌های موجود در لایه اول گره‌های ورودی است (گره‌هایی با ورودی عددی). این ورودی‌ها بعد از عبور از لایه‌های میانی ساختار به لایه‌های خروجی (لایه ۵) و به صورت عددی انتقال پیدا می‌کند. لایه‌های متغیرهای کلامی دوم و چهارم دارای گره‌هایی با عملکرد تابع عضویت‌اند. در لایه سوم هر گره یک گره قانون یا قانون‌گذار است که نماینده یک قانون فازی است. از این جهت کل گره‌های لایه سوم یک پایگاه قوانین را تشکیل می‌دهند.

ارتباطات بین لایه سوم و چهارم مانند یک موتور استنتاج و نتیجه‌گیری عمل می‌کند. اتصالات لایه ۳ شرایط اولیه گره‌های قوانین را تعریف کرده و اتصالات لایه‌ها حاصل گره‌های قانون‌گذاری را عرضه می‌کنند. بنابراین هر گره قانون و لایه سوم حداقل با یک اتصال می‌تواند به یکی از گره‌های لایه دوم متصل شود و یا حتی می‌تواند هیچ ارتباطی با آن نداشته باشد و همچنین این موضوع در مورد اتصالات لایه سوم و لایه نتایج (لایه چهارم) نیز صادق است. اما در لایه دوم و پنجم گره‌های این دو لایه کاملاً با تمام ورودی‌ها و خروجی‌های عددی از لایه‌های ورودی و خروجی ارتباط دارند.

جهت پیکان‌های موجود در شکل، نمایشگر جهت محاسبات هنگام کار عادی سیستم است. <sup>۳۹</sup> ANFA روش کدینگ مکمل و روش فازی آرت<sup>۴۰</sup> را برای نرمال کردن و خوشبندی بردارهای آموزشی ورودی و خروجی استفاده می‌کند. کدینگ<sup>۴۱</sup> مکمل یک فرایند نرمال شده است که در دوری جستن از مسئله زیاد شدن کلاس‌ها در طبقه‌بندی به روش فازی آرت کمک شایانی می‌کند. همچنین اطلاعات دامنه بردارهای آموزشی را نگه می‌دارد.

#### ۴-۲- یادگیری پارامتری

بعد از تنظیم ساختار شبکه بر طبق الگوهای آموزشی در مرحله یادگیری ساختاری، لازم است متغیرهای شبکه با دقت بیشتری تنظیم گردد. عمل یاد شده نیز به وسیله همان داده‌های آموزشی انجام می‌شود و این تنظیمات نیز در جهت افزایش دقت خروجی شبکه انجام می‌پذیرد. این عمل به وسیله الگوریتم پس انتشار خطا پس از محاسبه خروجی شبکه انجام می‌شود.

#### ۵- ساختار پیشنهادی

ساختار کلی سیستم پیشنهادی با وجود برخی تفاوت‌ها مشابه ساختار ANFF است، که به بررسی آنها می‌پردازیم:

۱. در این سیستم هر یک از ابعاد سیگنال ورودی و خروجی به صورت جداگانه خوشبندی می‌شوند و این موضوع از تکرار توابع عضویت برای ابعاد با تغییرات کم جلوگیری می‌کند؛

۲. برای اتصال هر تابع عضویت به هر گره قانون، ضریب در نظر گرفته شده است. این ضریب می‌تواند با تکرار زیاد قانون تقویت شود و در صورت تعداد کم تکرار قانون، می‌توان ضریب مربوط را صفر فرض کرد. این عمل در خصوص وجود اختشاش یا اشتباه در داده‌های آموزشی می‌تواند با حذف قانون ضعیف مؤثر باشد. همچنین برای از بین بردن احتمال همپوشانی کلاس‌ها می‌توان این ضرایب را به وسیله الگوریتم‌های بهینه‌سازی (به عنوان مثال ژنتیک) اصلاح کرد؛

۳. خوشبندی اطلاعات ورودی با توجه به کلاس‌های خروجی انجام می‌شود.

#### ۵-۱- طبقه‌بندی کننده فازی- عصبی و فقی (ANFC)

ساختار فوق برای طبقه‌بندی کلاس‌های حرکتی به کار گرفته شد (شکل ۷). بدین صورت که برای هر کلاس یک خروجی مستقل در ابعاد خروجی در نظر گرفته شد و به ازای فعال

گره‌های لایه اول کار می‌کند. نوع دوم از گره‌های موجود در این لایه، گره‌هایی با قابلیت کار در حالت کاری پایین به بالایند و نقش محاسبه سیگنال خروجی را بر عهده دارند. این گره‌ها و ارتباطات موجود در لایه پنجم به عنوان یک نافازی کننده عمل می‌کنند. شایان توجه است در الگوریتم ارائه شده هنگام شروع یادگیری سیستم، قانون اولیه و گره‌های ورودی و خروجی وجود ندارند؛ بلکه در طول پیشرفت آموزش به صورت آنی و دینامیک به وجود می‌آیند. اما در مواردی که برخی اطلاعات اولیه طراحی سیستم موجود باشد، می‌توان این اطلاعات را به عنوان قوانین فازی اولیه در سیستم اعمال نمود. در مراحل پیشرفت آموزش، اگر قوانین تجربی اعمال شده نتواند به طور کامل خروجی مطلوب را عرضه کند، به صورت خودکار گره‌های ورودی و خروجی یا قوانین فازی لازم به سیستم اضافه می‌شود.

#### ۳-۲- یادگیری ساختاری

مرحله یادگیری ساختاری ۳ قدم مهم دارد: خوشبندی فازی ورودی‌ها؛ خوشبندی فازی خروجی‌ها و نگاشت نواحی ورودی به نواحی خروجی. بر این اساس دو عمل طبقه‌بندی همزمان در دو طرف شبکه انجام می‌شود:

قدم اول: خوشبندی اطلاعات کد شده ورودی و ایجاد خوشی جدید در صورت لزوم به وسیله الگوریتم فازی آرت؛  
قدم دوم: خوشبندی فضای خروجی مانند قدم اول با این تفاوت که گره‌های لایه ۴ و ۵ در حالت بالا به پایین کار می‌کنند؛

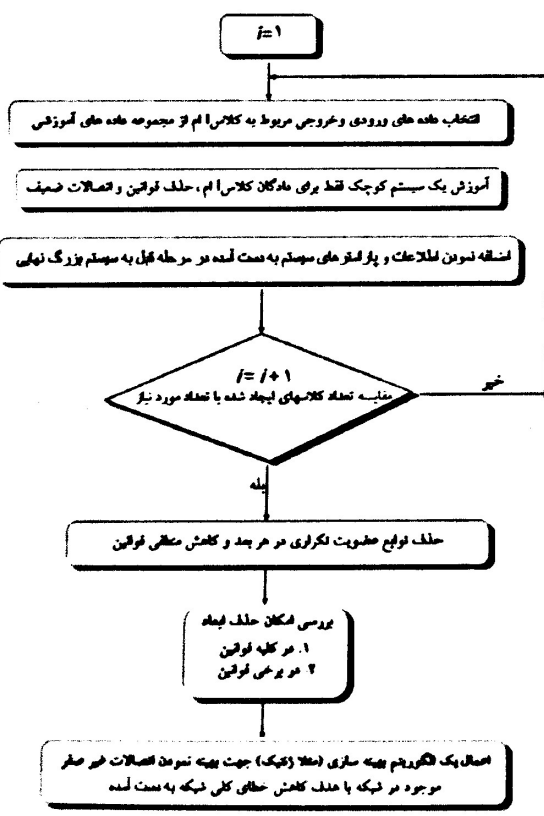
قدم سوم (فرایند نگاشت): بعد از انتخاب ابر جعبه<sup>۴</sup>‌های ورودی و خروجی و عملیات خوشبندی، قدم بعدی انتخاب ارتباط بین این ابر جعبه‌های ورودی و خروجی است که این عمل با مشخص کردن ارتباطات بین گره‌های لایه سوم و چهارم انجام می‌گیرد. این کار، معادل با تصمیم‌گیری در مورد خروجی قوانین فازی است.

<sup>4</sup> Hyper Box

## ۵-۲-۵-آموزش و یادگیری سیستم

آموزش این سیستم نیز می‌تواند به صورت ساختاری و پارامتری باشد. خوشبندی اطلاعات در هر بعد به صورت با سرپرستی و با توجه به کلاس فعال انجام می‌شود. روند آموزش در شکل ۸ نشان داده شده است.

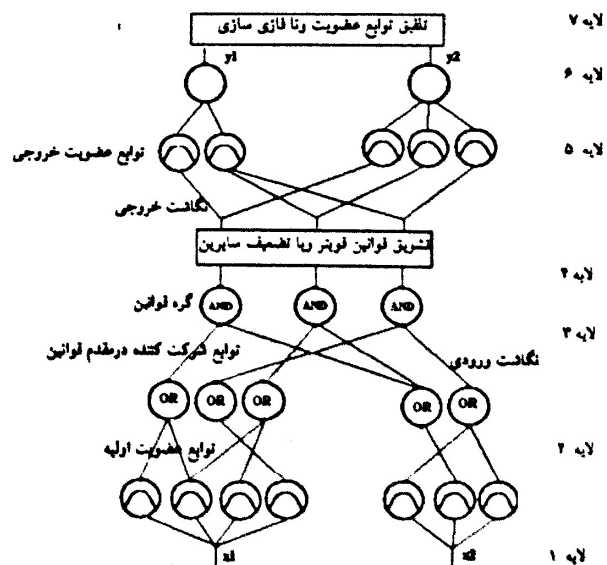
این الگوریتم بر روی کلیه قوانین و برای هر کلاس اجرا می‌شود. حاصل عمل فوق مجموعه قوانین کاهش یافته‌ای است که در لایه دوم یا توابع عضویت شرکت کننده در مقدم قوانین، تعداد توابع عضویت نسبت به حالت اولیه کمتر شده است. بعد از این مرحله در صورت نیاز، می‌توان با برسی توابع عضویت موجود در لایه دوم، آنها را که در تولید هیچ یک از توابع تعریف شده در لایه دوم نقشی ندارند را از مجموعه توابع عضویت حذف نمود. هم‌چنین می‌توان ابعاد اضافی یا بی‌تأثیر را در هر یک از قوانین یا حتی در کل قوانین در صورت وجود پیدا و حذف نمود.



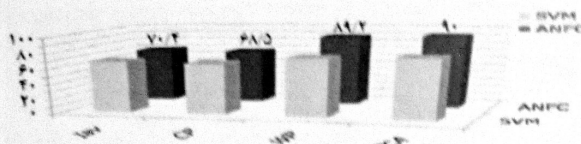
شکل ۸- روند آموزش

بودن این کلاس عدد ۱، در غیر این صورت صفر به خروجی تعلق می‌گرفت. البته جهت بالا بردن کیفیت کار سیستم چند نکته زیر را در طبقه‌بندی مورد توجه قرار داده ایم:

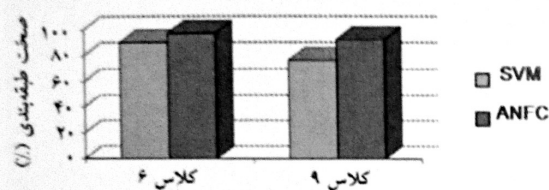
۱. به علت اینکه در فاز نرمال کردن بردارهای ورودی و روش کدینگ مکمل مشکل روی هم افتادگی کلاس‌های انتباختی ملایم و شدید وجود داشته است، به ابعاد سیگنال ورودی یک بعد اضافی با مقداری برابر متوسط کلیه ابعاد سیگنال اضافه کرده‌ایم. این بعد از روی هم افتادگی بردارهایی که ضریبی از یکدیگرند، جلوگیری می‌کند؛
۲. شبیب دو ساق توابع عضویت ذوزنقه‌ای در فاز آزمون نسبت به مقدار در نظر گرفته شده در فاز آموزش، کمتر در نظر گرفته شده است. این امر سبب می‌شود خوشبندی در فاز آموزش با دقت بیشتری انجام شود و در فاز آزمون قدرت تعیین سیستم در قبال تغییرات افزایش یابد؛
۳. احتمال استفاده سیستم به گونه‌ای است که هر خروجی به طور مستقل از سایر خروجی‌ها حرکت خاص خود را با توجه به مقدار خروجی مربوطه بتواند تولید نماید؛ بنابراین سعی شده است بعد از لایه سوم که مربوط به محاسبه درصد تحریک هر یک از قوانین‌اند یک لایه با وظیفه نگه داشتن قوانین قوی و حذف قوانین ضعیفتر به سیستم اضافه گردد، به این ترتیب خروجی به دست آمده در هر یک از ابعاد دارای صراحةً بیشتری خواهد بود.



شکل ۷- ساختار لایه به لایه سیستم پیشنهادی (ANFC)



شکل ۹- متوسط صحت طبقه‌بندی برای شش فرد و نه کلاس حرکتی، با استفاده از ANFC و SVM



شکل ۱۰- مقایسه متوسط صحت طبقه‌بندی SVM و ANFC در شش کلاس حرکتی و نه کلاس حرکتی برای شش فرد و بر اساس بردار ویژگی ترکیبی کاهش بُعد یافته

### ۳-۵- نتایج

قبل از بررسی نتایج شایان ذکر است در هر جلسه آزمایش برای هر کلاس حرکتی، ثبت سیگنال در بازه زمانی ۴ ثانیه‌ای و به تعداد ۱۰ مرتبه انجام پذیرفت. در هر یک از این بازه‌های زمانی ۴ ثانیه‌ای، پس از حذف قسمتی از ابتدا و انتهای سیگنال، ۶ پنجره ۲۰۰ میلی‌ثانیه‌ای استخراج شد. پس از مخلوط نمودن ۶۰ پنجره برای حرکت، ۲۰ پنجره به عنوان دادگان خام آموزشی و ۴۰ پنجره به عنوان دادگان خام آزمون به بخش استخراج ویژگی معرفی شدند. در ابتدای امر برای بررسی، شش کلاس اول مورد بررسی قرار گرفت و کم کم تعداد کلاس‌های آزمایشی افزایش یافت. نتایج تشخیص سیستم فوق برای دو طبقه‌بندی کننده ANFC و SVM در شکل‌های ۹ و ۱۰ و جدول‌های ۳ و ۴ نمایش داده شده است. برای اجرای SVM از جعبه ابزار LIBSVM<sup>۴۳</sup> استفاده شده است [۲۰].

جدول ۳- صحت طبقه‌بندی و زمان کل پردازش (استخراج ویژگی، کاهش بُعد و طبقه‌بندی) برای شش فرد و شش کلاس حرکتی، با استفاده از ANFC و SVM

SVM				ANFC				زمان پردازش (ms)
IAV WP+CP+ PCA	WP	CP	IAV	IAV WP+CP+ PCA	WP	CP	IAV	
۸۰	۶۵	۴۵	۴۰	۹۵	۸۰	۶۰	۵۵	
صحت								فرد
۸۹	۸۳/۸	۷۶/۸	۸۰/۴	۹۷/۹	۹۱	۷۵	۸۴	۱
۹۰/۶	۹۰/۱	۸۰/۲	۷۵/۸	۹۵/۷	۹۲/۳	۷۸/۳	۸۲/۷	۲
۹۰/۲	۸۹/۷	۷۵/۴	۷۴/۳	۹۵/۳	۹۳	۷۶/۹	۸۰	۳
۸۸/۹	۸۸/۲	۷۶/۳	۷۱/۵	۹۶/۴	۹۲/۸	۷۷/۲	۸۱	۴
۹۱/۱	۹۰/۸	۸۰/۵	۸۱/۸	۹۸/۷	۹۴/۴	۷۷/۸	۸۶/۵	۵
۸۸/۷	۸۶/۱	۷۶/۴	۸۰/۳	۹۷/۳	۹۰/۶	۷۸	۸۲	۶
۸۹/۷۵	۸۸/۱	۷۷/۶	۷۷/۳۵	۹۶/۸۸	۹۲/۳۵	۷۷/۲	۸۲/۷	متوسط

<sup>۴۳</sup> Library for Support Vector Machines

جدول ۴- صحبت طبقه‌بندی و زمان کل پردازش (استخراج ویژگی، کاهش بعد و طبقه‌بندی) برای شش فرد و نه کلاس حرکتی، با استفاده از SVM و ANFC

SVM				ANFC				زمان پردازش (ms)
IAV WP+CP+ PCA	WP	CP	IAV	IAV WP+CP+ PCA	WP	CP	IAV	
۸۹	۷۳	۵۵	۵۰	۹۸	۸۸	۷۰	۶۵	زمان پردازش (ms)
صحبت								فرد
۷۸/۳	۷۵	۶۶/۳	۶۹/۸	۹۲/۶	۸۹/۱	۶۸/۹	۷۲/۳	۱
۷۵	۷۳/۷	۶۵/۶	۶۶	۹۲	۸۷/۷	۶۹/۸	۶۹/۴	۲
۷۴/۸	۷۲/۱	۶۱	۶۴/۲	۹۰/۷	۹۰/۴	۶۵/۴	۶۷	۳
۷۴/۵	۷۲/۸	۶۳/۳	۶۴	۹۱	۸۸/۳	۶۸/۹	۶۹/۸	۴
۷۷/۱	۷۵	۶۷/۹	۷۱/۴	۹۴/۴	۹۲/۸	۷۱/۲	۷۵	۵
۷۶/۵	۷۱/۸	۶۴/۳	۶۵/۷	۹۱/۲	۸۶/۶	۶۶/۲	۶۹	۶
۷۶	۷۳/۴	۶۴/۷	۶۶/۸۵	۹۲	۸۹/۲	۶۸/۵	۷۰/۴	متوجه

ضرایب کپسترم به تنها آنچنان مؤثر نبودند، حذف آنها از ترکیب باعث افزایش خطای شد. این امر نشان می‌دهد که هر دسته از ویژگی‌ها در کلاس‌های متفاوتی دارای خطایند و با ترکیب، مکمل یکدیگر شده و خطای همدیگر را پوشش می‌دهند. با استخراج مؤلفه‌های اساسی‌تر به عنوان تابعی از همه ابعاد (ویژگی‌ها) و تصویر به بعد کمتر، بردار ویژگی نتیجه، در عمل محصول کل ویژگی‌هاست.

۴. طبقه‌بندی کننده ANFC با توجه به تطبیق ساختاری و پارامتری با داده‌ها، در هر چهار دسته از بردارهای ویژگی بهتر از SVM عمل کرده است. بهویژه با افزایش تعداد کلاس‌ها که همپوشانی بیشتر می‌شود (کلاس‌های ۵، ۷ و ۸)، انعطاف‌پذیری بیشتر ANFC نتایج بهتری را به همراه داشته است.

## ۶- اعمال الگوریتم ژنتیک به شبکه ANFC در جهت کاهش خطای محاسبات

همانگونه که پیش‌تر نیز بحث شد، در شبکه ANFC می‌توان در جهت کاهش خطای سیستم پس از اینکه مراحل آموزش و تولید قوانین به پایان رسید، ضرایب اتصالات موجود در سیستم (چه لایه‌های قبل از ساختن مقدم قوانین و چه در بین خروجی گره‌های قوانین و توابع عضویت خروجی) را به وسیله الگوریتم ژنتیک تغییر داد. با انجام دادن این عمل امکان

طبق نتایج مندرج در دو جدول ۳ و ۴ و شکل‌های ۹ و ۱۰ مشاهده می‌شود:

۱. با اینکه در یک کanal، ویژگی IAV دارای بعد یک و کپسترم دارای بعد شش است، خطای طبقه‌بندی آن کمتر از کپسترم به دست می‌آید. با توجه به اینکه IAV از نظر محاسباتی ساده و بسیار سریع است، به طور کامل بر کپسترم ترجیح دارد و حتی اغلب دسته‌های مصنوعی ساخته شده امروزی بر اساس آن کار می‌کنند. البته لازم به تذکر است که ما از شش مقدار اولیه کپسترم استفاده کردی‌ایم، در حالی که ممکن است آنها اطلاعاتی ترین مقادیر ناشنید. همچنین برای تحلیل و مقایسه دقیق نیاز است که براساس معیارهایی نظیر دیویس-بولدین<sup>۲۲</sup> مورد ارزیابی قرار گیرند؛

۲. ضرایب بسته ویولت کارایی بهتری نشان داده اند، که این امر علاوه بر آنکه می‌تواند ناشی از بعد بالاتر بردار ویژگی باشد، ناشی از تطبیق بهتر و محلی ویولت انتخابی با سیگنال و انتخاب ضرایب بسته ویولت (هرس کردن) براساس معیار اطلاعاتی آنتروپی است.

۳. با ترکیب ویژگی‌ها و سپس کاهش بعد بر اساس PCA با بعد محدود ۱۰، نتایج بسیار بهتری حتی نسبت به بسته ویولت تنها (بعد ۱۹۲) حاصل شده است. حتی با اینکه

<sup>22</sup>Davies-Bouldin

۴. تقاطع<sup>۷</sup>: به منظور تولید جمعیت جدید از بین جمعیت کروموزوم‌ها، از تابع تقاطع یکنواخت (استفاده از ماسک اتفاقی برای تلفیق ژن‌ها) استفاده شده است.

۵. جهش<sup>۸</sup>: در جهت باقی نماندن الگوریتم در کمینه‌های محلی برای ایجاد جهش با تولید کروموزوم‌های جدید از کروموزوم‌های موجود که هر یک از ژن‌های آن به صورت اتفاقی تضعیف یا تقویت شوند، استفاده شده است. ضریب تضعیف ۰/۷ و ضریب تقویت ۱/۳ در نظر گرفته شده است.

۶. شرط خاتمه الگوریتم ژنتیک: شرط خاتمه الگوریتم تعداد اجرای الگوریتم به ازای تولید جمعیت فرض شده است.

#### ۱-۶ نتایج اعمال الگوریتم

شبکه آموزش یافته با کلاس‌های تعریف شده، ساختاری با ۴ قانون برای خویش ایجاد نموده است. خطای تشخیص برای ۴ کلاس فوق به ازای دادگان آموزش ۱۷/۵٪ و به ازای دادگان آزمون ۲۶/۵٪ اندازه‌گیری شده است.

در این آزمایش معیار در نظر گرفته شده به عنوان تابع ارزیابی الگوریتم، خطای دادگان آزمون بوده است. بعد از اعمال الگوریتم ژنتیک به تعداد ۳۰ بار، خطای دادگان آموزش از ۱۷/۵٪ به ۹/۵٪ و خطای دادگان آزمون از ۲۶/۵٪ به ۱۲/۵٪ کاهش یافته است (جدول‌های ۵ تا ۸). بنابراین به خوبی می‌توان اثر الگوریتم ژنتیک را بر رشته ضرایب در شکل ۱۰ مشاهده کرد.

شکل ۱۱ بهبود بازشناسی را برای ۹ کلاس با ویژگی‌های ترکیبی کاهش بعد یافته، بعد از اعمال ژنتیک نشان می‌دهد.

جدو، ۵- ماتریس نرخ بازشناسی ۴ کلاس با بیشترین همپوشانی برای داده‌های آموزش (قبل از ژنتیک)

کلاس ۹	کلاس ۸	کلاس ۷	کلاس ۵	کلاس ۴	آموزش
۲۰	۰	۰	۸۰	۵	کلاس ۹
۲۰		۸۰	۰	۷	کلاس ۸
۰	۱۰۰	۰	۰	۸	کلاس ۷
۶۸	۰	۲۰	۱۲	۹	کلاس ۴

کم شدن خطای کل خروجی بسیار زیاد خواهد شد. خصوصاً در مواردی که تداخل کلاس‌ها زیاد است (۹ کلاس و بین کلاس‌های ۵ و ۷ با ۸ و ۹) اعمال این الگوریتم می‌تواند در جهت تضعیف و تقویت کلاس‌های مداخل نتیجه بهتری از سیستم به دست دهد.

در این آزمایش از ۴ کلاس حرکتی پر تداخل مربوط به فرد اول برای آموزش سیستم ارائه شده استفاده شده است. پس از تکمیل آموزش برای ایجاد جمعیت اولیه برای الگوریتم ژنتیک، ماتریس ضرایب بین لایه توابع عضویت شرکت کننده در مقدم قوانین، لایه سازنده مقدم قوانین، ماتریس ضرایب بین خروجی گره‌های خروجی قوانین و توابع عضویت فازی در ابعاد خروجی در یک رشته قرارداده شده این رشته خود یک کروموزوم برای اعمال به الگوریتم ژنتیک خواهد شد. به منظور محاسبه خروجی، کل شبکه به گونه‌ای در نظر گرفته شده است که امکان فعال شدن چند خروجی به ازای یک ورودی، داده شده است. متغیرهای الگوریتم ژنتیک به شرح زیرند.

۱. جمعیت اولیه: برای تولید جمعیت اولیه علاوه بر کروموزوم اصلی (به عنوان متغیر اصلی شبکه)، سعی شده است در جهت کمک به الگوریتم ژنتیک، کروموزوم‌های دیگری که در هر کدام از آنها اثر هر یک از قوانین تضعیف شده است همراه با چند نسخه اغتشاش یافته از کروموزوم‌های یاد شده را ایجاد کنیم. تضعیف در هر یک از کروموزوم‌های تولید شده به صورت تضعیف ضرایب اتصال مابین گره‌های خروجی قوانین و گره‌های توابع عضویت در ابعاد خروجی انجام گرفته است.

۲. تابع برازنده‌گی<sup>۹</sup>: تابع برازنده‌گی در این مسئله، خطای خروجی شبکه به ازای دادگان آموزشی با ضرایب اتصال محاسبه شده به وسیله الگوریتم ژنتیک تعریف شده است و هدف آن کم نمودن این خطاست.

۳. باز تولید<sup>۱۰</sup>: درباره عملگر فوق، همواره ۳۰٪ از بهترین‌های جمعیت موجود به نسل بعد منتقل شده اند.

## ۷- نتیجه‌گیری و پیشنهادها

بر اساس نتایج به دست آمده از بخش‌های قبل، مشخص شد که:

۱. استفاده از ویژگی‌های با بعد بیشتر، به شرطی که تطبیق محلی بهتری با سیگنال داشته باشد و دارای اضافات نباشد، می‌تواند نتایج طبقه‌بندی را بهبود بخشد، اما این امر به بزرگ شدن شبکه و وقت‌گیر بودن محاسبات منجر می‌شود که استفاده از روش‌های کاهش بعد، در این خصوص مؤثر خواهد بود.

۲. اراده فرد در تولید کلاس‌های حرکتی با جدایذیری قابل قبول، بسیار مهم است. با مقایسه آزمایش‌های افراد مختلف، به خوبی این نکته مشخص گردید که با تأکیدات اعمال شده به فرد مبنی بر دقت بیشتر در تولید حرکات، نتایج بهتر می‌شود و این امر تأکیدی است بر اینکه آموزش اختصاصی و تمرین و تکرار فرد در بهبود نتایج برای او می‌تواند به طور کامل مؤثر باشد. همچنین وجود بازخوردهای چشمی از تشخیص سیستم در فاز آموزش نیز می‌تواند در تصحیح حرکات بسیار مؤثر باشد اما در این مطالعه چنین بازخوردی موجود نبوده است.

۳. شبکه خودسازمانده فازی-عصبی پیشنهادی در طبقه‌بندی کلاس‌های مختلف حرکتی دست بخوبی توانسته است هم از نظر دقت تشخیص و هم از نظر کار در فضاهای اغتشاشی، بهتر از سایر شبکه‌ها عمل کند. این شبکه توانایی یادگیری بسیار سریع‌تر از شبکه‌های عصبی و حتی ماشین بردار پشتیبان را دارد، لایل این امر به قرار زیر است: در آنها الگوریتم یادگیری بر اساس تکرار آموزش برای کل داده‌های آموزشی مساوی است؛ سیستم قابلیت یادگیری همزمان را دارد و اضافه نمودن دانش جدید یا دانش تشخیص خبره به آن بسیار ساده است و لازم نیست کل الگوریتم آموزش دوباره از ابتداء اجرا شود، بلکه قوانین جدید به قوانین قبل اضافه می‌شوند یا دادگان جدید برای تکمیل آموزش به شبکه معرفی می‌شوند. خصوصیت آموزش سریع ساختار پیشنهادی، امکان آموزش سریع به وسیله فرد به ازای هر بار تعریض

## جدول ۶- ماتریس نرخ بازشناسی ۴ کلاس با بیشترین همپوشانی برای داده‌های آزمون (قبل از ژنتیک)

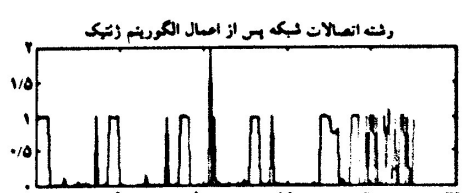
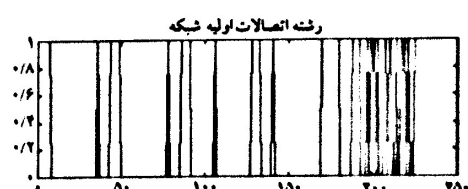
آزمون	کلاس ۹	کلاس ۸	کلاس ۷	کلاس ۵	کلاس ۴
۳۲/۳۲	۰	۰	۰	۶۷/۲۷	۵
۲۵		۷۵	۰	۷	
۰	۱۰۰	۰	۰	۸	
۶۲	۰	۲۳	۱۵	۹	

## جدول ۷- ماتریس نرخ بازشناسی ۴ کلاس با بیشترین همپوشانی برای داده‌های آموزش (بعد از ژنتیک)

آموزش	کلاس ۹	کلاس ۸	کلاس ۷	کلاس ۵	کلاس ۴
۱۳	۰	۰	۸۷	۵	
۱۶		۸۴	۰	۷	
۰	۱۰۰	۰	۰	۸	
۷۷	۰	۱۵	۸	۹	

## جدول ۸- ماتریس نرخ بازشناسی ۴ کلاس با بیشترین همپوشانی برای داده‌های آزمون (بعد از ژنتیک)

آزمون	کلاس ۹	کلاس ۸	کلاس ۷	کلاس ۵	کلاس ۴
۱۵	۰	۰	۸۵	۵	
۱۸		۸۲	۰	۷	
۰	۱۰۰	۰	۰	۸	
۷۲	۰	۱۷	۱۱	۹	



شکل ۱۰- رشته اتصالات شبکه ANFC قبل و بعد از الگوریتم ژنتیک



شکل ۱۱- بهبود بازشناسی برای ۹ کلاس با ویژگی‌های ترکیبی کاهش بعد یافته، بعد از اعمال ژنتیک

- Signal Processing and Control, In press, Available online 7 November 2007.
- [10] Yuag Y.S., Lam F.K., Chan F.H.Y., Zhang Y.T., Parker P.A., New fuzzy approach for pattern recognition with application to EMG classification, IEEE International Conference on Neural Networks 1996; 2:1109-1114.
- [11] بیشیان داریوش، آنالیز غیرخطی سیگنال الکترومایوگرام سطحی به منظور تشخیص الگوهای حرکتی دست، پژوهش‌هاد رساله دکتری مهندسی پزشکی - بیوالکتریک، دانشکده مهندسی پزشکی، دانشگاه صنعتی امیرکبیر، ۱۳۸۷.
- [12] Hudgins B., Parker P., Scott R.N., A new strategy for multifunction myoelectric control, IEEE Trans. Biomed. Eng. 1998; 40:82-94.
- [13] Englehart K., Hudgins B., Parker P.A., A wavelet-based continuous classification scheme for multifunction myoelectric control, IEEE Trans. Biomed. Eng. 2001; 48: 302-311.
- [14] مکی‌آبادی بهادر، طبقه‌بندی سیگنال الکترومایوگرام سطحی چندکاناله توسط روش‌های فازی - عصبی، پایان‌نامه کارشناسی ارشد مهندسی پزشکی - بیوالکتریک، دانشکده مهندسی پزشکی، دانشگاه صنعتی امیرکبیر، ۱۳۷۹.
- [15] Kiguchi K., Tanaka T., Watanabe K., Fukuda T., Design and control of an exoskeleton system for human upper-limb motion assist, Proc. IEEE/ASME Int. Conf. Adv. Intell. Mechatron. (AIM) 2003: 926-931.
- [16] Ajiboye A.B., Weir R.F.A., Heuristic fuzzy logic approach to SEMG pattern recognition for multifunctional prosthesis control, IEEE Trans Neural Sys. and Rehab. Eng. 2005; 13:280-291.
- [17] Huang Y., Englehart K., Hudgins B., Chan A.D.C., A Gaussian Mixture Model Based Classification Scheme for Myoelectric Control of Powered Upper Limb Prostheses, IEEE Trans. Biomedical Engineering 2005; 52: 1801-1811.
- [18] Chu J.U., Moon I., Mun M.S., A Real-Time SEMG Pattern Recognition System Based on Linear-Nonlinear Feature Projection for a Multifunction Myoelectric Hand, IEEE Trans on Biomed. Eng. 2006; 53: 2232-2240.
- [19] Lin C.T., Jung C., An Adaptive Neural Fuzzy Filter and Its Applications, IEEE Trans. On System Man And Cybernetics 1997; 27:635-647.
- [20] Chang C.C., Lin C.J., LIBSVM: A library for support vector machines [Online]; (2001). Available: <http://www.csie.ntu.edu.tw/~cjlin/libsvm>.
- الکتروودها را نیز فراهم می‌کند.
۴. در این ساختار روش‌های خوشبندی غیرتکراری اطلاعات استفاده شده است که به ترتیب داده حساس است. در واقع یکی از مهمترین دلایل وجودتابع عضویت اضافی در ابعاد همین مسئله است. برای حل مشکل فوق، می‌توان با تغییر روش خوشبندی به عنوان مثال استفاده از خوشبندی‌های فازی، جواب بهتری به دست آورد، اما این روش‌ها از سرعت آموزش سیستم خواهد کاست.

## مراجع

- [1] Dorcas D., Scott R.N., A three state myoelectric control: Med. Biol. Eng. 1966; 4:367-372.
- [2] Asghari Oskoei M., Hu H., Myoelectric control systems - A survey, Biomedical Signal Processing and Control 2007;4: 275-294.
- [3] Graupe D., Cline W.K., Functional Separation of EMG signals via ARMA Identification method for prosthesis control purposes, IEEE Tran. On System Man and Cybernetics 1975; 5: 252-259.
- [4] Boostani R., Moradi M.H., Evaluation of the forearm SEMG signal features for the control of a prosthetic hand, Physiol. Meas. 2003; 24: 309-319.
- [5] بوستانی رضا، ارزیابی اطلاعاتی ویژگی‌های سیگنال الکترومایوگرام سطحی به منظور کنترل دست مصنوعی؛ پایان‌نامه کارشناسی ارشد مهندسی پزشکی - بیوالکتریک، دانشکده مهندسی پزشکی، دانشگاه صنعتی امیرکبیر، ۱۳۷۸.
- [6] Nazarpour K., Sharafat A.R., Firoozabadi S.M.P., Application of higher order statistics to surface electromyogram signal classification, IEEE Trans. Biomed. Eng. 2007; 54:1762-1770.
- [7] Zardoshti M., Wheeler B., Badie K. and Hashemi M.R., EMG feature evaluation for movement control of upper extremity prostheses, IEEE Trans Rehab. Eng. 1995; 3:324-333.
- [8] Asghari Oskoei M., Hu H., Support Vector Machine based Classification Scheme for Myoelectric Control Applied to Upper Limb, IEEE Transactions on Biomedical Engineering 2008; 55:1956-1965.
- [9] Lucas M.F., Gaufrida A., Pascual S., Doncarli C., Farina D., Multi-channel surface EMG classification using support vector machines and signal-based wavelet optimization, Elsevier Journal of Biomedical